

Коллективный механизм проводимости в квазиодномерном соединении TiS_3

И. Г. Горлова¹⁾, В. Я. Покровский

Институт радиотехники и электроники им. В.А. Котельникова РАН, 125009 Москва, Россия

Поступила в редакцию 7 июля 2009 г.

Измерены зависимости сопротивления монокристаллических вискеров TiS_3 от температуры и электрического поля в диапазоне 340–4.2 К. При температурах ниже 60 К обнаружена сильная нелинейность вольт-амперных характеристик. Ниже 10 К вольт-амперные характеристики имеют пороговый вид. Полученные зависимости объясняются переходом электронов в коллективное состояние, возможно, с образованием волн зарядовой плотности.

PACS: 68.70.+w, 71.30.+h, 71.45.Lr, 72.15.Rn

Особый интерес к квазиодномерным проводникам связан с тем, что в некоторых из них при понижении температуры происходит переход Пайерлса [1], в результате которого образуется волна зарядовой плотности (ВЗП). Переход сопровождается диэлектрилизацией электронного спектра, с которой связаны аномалии на температурной зависимости электросопротивления $R(T)$ вблизи температуры перехода [2, 3]. С движением ВЗП связан особый коллективный механизм проводимости. При приложении электрического поля E выше некоторого порогового значения E_t срыв ВЗП с примесей (депиннинг) приводит к резкому уменьшению сопротивления и обуславливает нелинейность вольт-амперных характеристик (ВАХ). Известно всего около 10 неорганических соединений, в которых наблюдается движение ВЗП. Большинство из них является трихалькогенидами или тетрахалькогенидами переходных металлов V группы [3].

Трихалькогениды переходных металлов IV группы также характеризуются квазиодномерной структурой, однако пайерловских проводников с движущейся ВЗП среди них пока обнаружено не было. В сравнении с трихалькогенидами металлов V группы соединения IV группы отличаются более простой структурой: элементарная ячейка содержит две металлические цепочки одного типа, сдвинутые относительно друг друга на полпериода решетки в направлении оси b . Цепочки направлены вдоль оси b и образуют слои в плоскости ab , которые связаны между собой вандерваальсовым взаимодействием [3]. Эти соединения относятся к диамагнитным полупроводникам [3, 4]; среди них только ZrTe_3 и TiS_3 проявляют металлические свойства. В соединении ZrTe_3 наблюдается пайерловский переход при 63 К. При этом

ВЗП образуется не в направлении цепочек, как это обычно происходит, а в плоскостях ac , перпендикулярных цепочкам, и находится в запиннингованном состоянии [5].

Соединение TiS_3 ведет себя при высоких температурах как металл: сопротивление в направлении вдоль проводящих цепочек уменьшается с понижением температуры. При температуре приблизительно 250 К наблюдается минимум на температурной зависимости сопротивления $R(T)$ [6, 7]. При дальнейшем понижении температуры сопротивление растет и начинает зависеть от частоты [7]. Такое поведение характерно для пайерловских проводников. Однако прямых доказательств перехода – образования сверхструктур в кристаллической решетке и нелинейной проводимости – в этом соединении пока не получено [6, 7]. Диэлектрическое поведение и частотная зависимость сопротивления TiS_3 при $T < 200$ К были объяснены локализационными эффектами [7].

До сих пор структурные исследования TiS_3 проводились при $T > 130$ К [6], а зависимости сопротивления от температуры и частоты были измерены при температурах выше 40 К [7]. При более низких температурах это соединение не исследовано.

Задачей настоящей работы является исследование температурных и полевых зависимостей электропроводности квазиодномерного проводника TiS_3 при низких температурах, вплоть до гелиевых, и поиск коллективных эффектов, характерных для низкоразмерных соединений.

Монокристаллические вискеры TiS_3 были синтезированы в Институте физики металлов УрО РАН (Екатеринбург) методом газотранспортных реакций и предоставлены А.Н. Титовым. Вискеры имеют форму ограненных лент с зеркально гладкой

¹⁾e-mail: gorl@mail.cplire.ru

поверхностью размером $(500\text{--}3000) \times (10\text{--}200) \times (1\text{--}20)$ мкм³. Форма образцов свидетельствует как об их квазиодномерной, так и слоистой структуре; на это же указывают и параметры решетки: $a = 0.50$ нм, $b = 0.34$ нм, $c = 0.88$ нм [4]. Вискеры легко расщепляются вдоль плоскостей, параллельных ab . Структурные исследования методами просвечивающей электронной микроскопии показали высокое совершенство монокристаллов. Параметры решетки вискеров в плоскости ab соответствуют литературным данным для TiS_3 [4]. Электронограммы, полученные при температурах 300 и 155 К, оказались идентичными, что подтвердило отсутствие пайерловского перехода в этом диапазоне температур, в соответствии с [6, 7].

Электрические контакты наносились с помощью механического прижатия свежесрезанных полосок индия к вискерам. Контактное сопротивление не превышало 10 Ом, а приведенное к площади контакта не превышало $\sim 10^{-6}$ Ом·см². Измерения $R(T)$ и ВАХ проводились по стандартной четырехзондовой схеме в режиме постоянного тока с помощью нановольтметра Keithley 2182A. Направление тока I переключалось с помощью источника тока Keithley 2400. Измерительный ток пропускался вдоль направления металлических цепочек. При $T = 300$ К удельное сопротивление образцов, ρ_b , составляло около 2 Ом·см, что соответствует результатам работы [7]. Следует отметить нестабильность образцов. После первого термоциклирования сопротивление при низких температурах примерно в 2 раза уменьшалось, но качественный вид кривых $R(T)$ не менялся, и все особенности наблюдались при тех же температурах. Специальные оценки нагрева образцов показали, что в условиях эксперимента он был пренебрежимо мал.

Температурная зависимость сопротивления вискеров TiS_3 приведена на рис.1. При понижении T от 340 до 226 К сопротивление уменьшается, проходит через минимум при 226 К, затем возрастает. Заметим, что температуры, при которых наблюдался минимум на $R(T)$, отличались для разных образцов и находились в диапазоне $200 \text{ K} < T < 260$ К, так же, как и в работах [6] и [7]. Зависимости $R(T)$ согласуются с измеренными ранее, при температурах выше 40 К [6, 7]. При дальнейшем понижении температуры сопротивление продолжает увеличиваться. Кроме минимума на $R(T)$ хорошо видны особенности при 59 и 17 К. Этим температурам соответствуют максимумы производной $d \ln R/d(1/T)$ (см. вставку к рис.1). Особенности $R(T)$ приблизительно при этих температурах наблюдались на всех семи измеренных образцах.

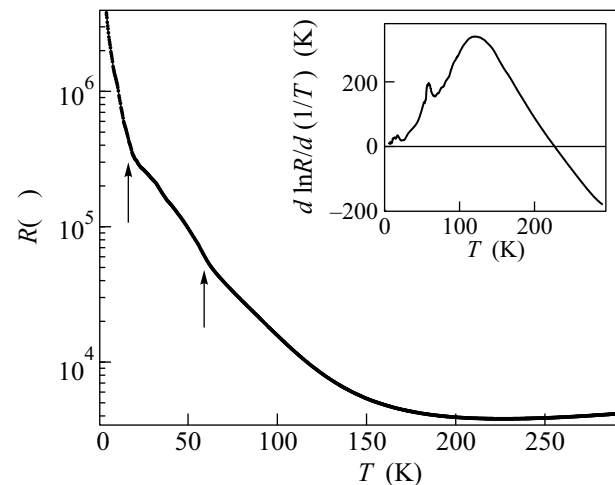


Рис.1. Температурная зависимость сопротивления вискера TiS_3 . На вставке показана температурная зависимость логарифмической производной, $d \ln R / d(1/T)$. Стрелками обозначены температуры 59 и 17 К, при которых наблюдаются максимумы $d \ln R / d(1/T)$

Вольт-амперные характеристики вискеров TiS_3 измерялись в интервале температур 125–4.2 К и электрических полей до 200 В/см. На рис.2 приведены зависимости дифференциального сопротивления $R_d \equiv dV/dI$ от приложенного напряжения V при различных температурах. Видно, что $R_d(V)$ при температурах выше 60 К практически линейны, с небольшим ($< 1\%$) квадратичным отклонением от линейности $\Delta R_d \sim V^2$, где $\Delta R_d = R_d(0) - R_d(V)$. При температурах ниже 60 К ВАХ становятся нелинейными. Вид кривых $R_d(V)$ качественно меняется: на них появляется перегиб. С понижением температуры нелинейность растет, и при $T < 10$ К зависимости $R_d(V)$ становятся пороговыми. Как видно из рис.3, при $T = 4.2$ К дифференциальное сопротивление не зависит от напряжения до $V_t = 31$ мВ, затем резко падает. При дальнейшем увеличении напряжения падение R_d замедляется, и $R_d(V)$ стремится к насыщению. При напряжении 1 В R_d уменьшается в 10 раз (см. рис.2). Пороговое поле при 4.2 К составляет $E_t \approx 6$ В/см и растет с повышением температуры, как показано на вставке к рис.3. Подобные зависимости наблюдались на четырех образцах.

На рис.4 показаны зависимости нелинейной части дифференциальной проводимости, $\sigma_{nl} \equiv \sigma_d(V) - \sigma_d(0)$, от температуры для фиксированных значений V . Здесь же показана температурная зависимость проводимости при малых токах, $\sigma(0)$. Видно, что при высоких температурах σ_{nl} мала по сравнению с $\sigma(0)$. С понижением температуры σ_{nl} возрастает, проходит через максимум примерно при 50 К и

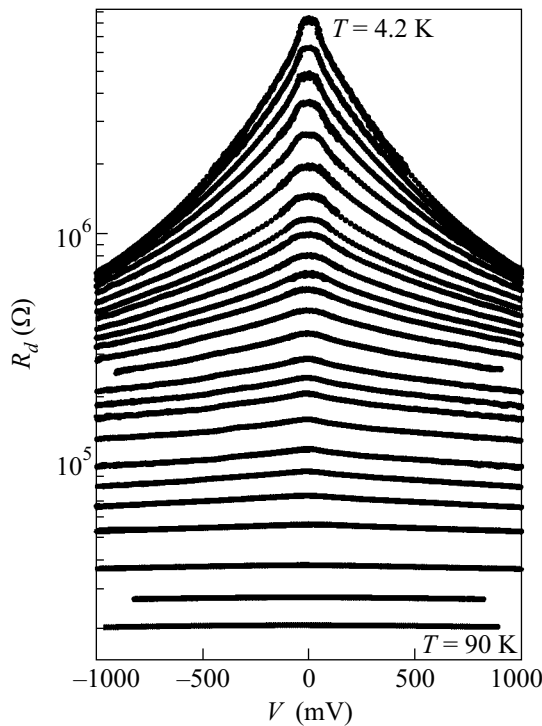


Рис.2. Зависимости дифференциального сопротивления, R_d , вискера TiS_3 от приложенного напряжения для разных температур: $T = 4.2, 4.4, 4.7, 5.2, 6.1, 7, 8.5, 9.7, 10.6, 11.8, 13, 14, 15.7, 18, 21.9, 27, 32.1, 37, 45, 50, 55, 60, 70, 80, 90 \text{ К}$

затем уменьшается. При $T < 50 \text{ К}$ на температурных зависимостях σ_{nl} воспроизводятся особенности температурного хода линейной проводимости. При максимальных напряжениях σ_{nl} практически не зависит от T .

Обсудим полученные результаты.

Переход металл – диэлектрик в TiS_3 вблизи 250 К авторы [7] объяснили процессом локализации электронов в неупорядоченной среде. Действительно, $R(T)$ для наших образцов в диапазоне $70\text{--}120 \text{ К}$ хорошо описывается зависимостью $\exp[-(T_M/T)^{1/4}]$ ($T_M = 1.6 \cdot 10^6 \text{ К}$), которая соответствует прыжковой проводимости с переменной длиной прыжка для 3-мерного случая [8]. Однако прыжковым механизмом нельзя объяснить порогового вида ВАХ при низких температурах. В принципе, нелинейная проводимость в больших полях может наблюдаться в условиях прыжковой проводимости, но отклонение R_d от постоянной величины имеет плавную зависимость от поля [9]. Прыжковой проводимостью нельзя объяснить и резких особенностей на $R(T)$: в этом случае сопротивление должно меняться с температурой плавно, без пиков на производной (см. вставку к рис.1). Отметим также высокое совершенство струк-

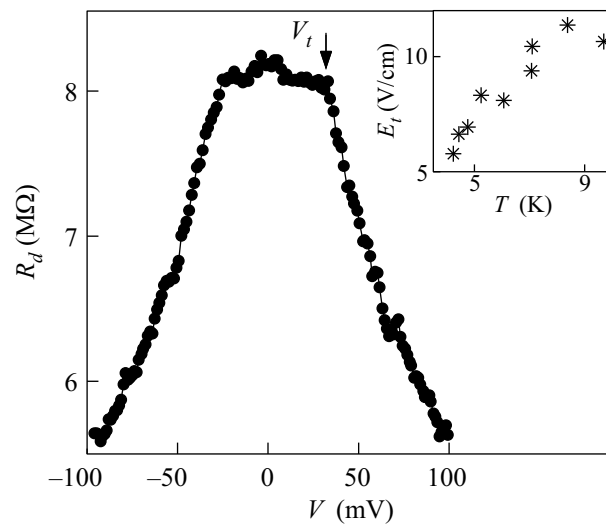


Рис.3. Зависимость дифференциального сопротивления вискера TiS_3 от приложенного напряжения при 4.2 К , при $|V| < 100 \text{ мВ}$. Пороговое напряжение V_t показано стрелкой. Пороговое поле $E_t = V_t/l = 5.5 \text{ В/см}$, где $l = 56 \text{ мкм}$ – расстояние между потенциальными контактами. На вставке показана зависимость порогового поля от температуры. E_t определялось приблизительно, по началу резкого уменьшения R_d

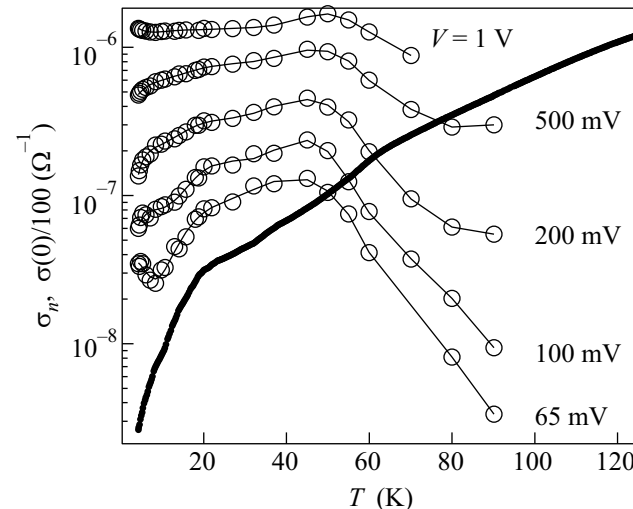


Рис.4. Температурные зависимости линейной проводимости $\sigma(0)$, измеренной при токе $I \leq 0.1 \text{ мкА}$ (жирная линия) и нелинейной части дифференциальной проводимости, $\sigma_{nl} = \sigma_d(V) - \sigma_d(0)$, при фиксированных значениях напряжения, указанных рядом с соответствующими кривыми (○). Тонкие сплошные линии проведены для удобства восприятия. Обратите внимание, что $\sigma(0)$ поделена на 100

туры вискеров TiS_3 , что свидетельствует о низкой степени беспорядка.

То, что сопротивление начинает зависеть от электрического поля именно при температуре $T \approx 60$ К, при которой наблюдается максимум производной $d\ln R/d(1/T)$, указывает на то, что в системе происходит структурный или электронный фазовый переход. Пороговый вид ВАХ указывает на коллективный механизм проводимости выше порогового напряжения. Можно предположить, что в квазиодномерном соединении TiS_3 возникает пайерлсовская неустойчивость с образованием ВЗП. Нелинейные ВАХ, имеющие характерную для квазиодномерных проводников форму, могут быть связаны с депиннингом и скольжением ВЗП. Величина порогового поля, 6 В/см при 4.2 К, а также десятикратное падение R_d свидетельствуют о том, что ВАХ TiS_3 не только качественно, но и количественно подобны ВАХ квазиодномерных проводников с ВЗП. В пользу этого предположения свидетельствуют и зависимости σ_{nl} от температуры при разных значениях V , представленные на рис.4. Максимум на кривых $\sigma_{nl}(T)$ подтверждает, что в системе происходит фазовый переход. Ниже перехода нелинейная проводимость уменьшается так же, как и линейная, повторяя ее особенности. (Отметим, в частности, особенность при 17 К, которая, возможно, указывает на еще один фазовый переход.) Подобное наблюдается и в пайерлсовских проводниках [2], например в TaS_3 [10]. Еще одно общее свойство квазиодномерных проводников с ВЗП – слабая зависимость σ_{nl} от V и T в больших полях [2] – также наблюдается для TiS_3 (см. рис.2 и 4).

Важным аргументом в пользу образования ВЗП являются особенности на зависимостях $R(T)$, представленной на рис.1. Максимум производной $d(\ln R)/d(1/T)$ обычно наблюдается при температуре пайерлсовского перехода [2, 3]. Надо отметить, что в нашем случае $R(T)$ ниже 59 К, температуры предполагаемого перехода, нельзя описать термоактивационным законом $R \propto \exp(\Delta/T)$, где Δ – величина пайерлсовской щели (см. вставку на рис.1). Активационная зависимость $R(T)$ характерна для многих, хотя и не для всех проводников с ВЗП. Но, во-первых, переход может быть сильно размыт из-за флуктуаций. Во-вторых, в случае TiS_3 фазовый переход происходит на фоне другого процесса диэлектризации, начинаящегося при более высокой температуре, ~ 250 К, возможно, локализации [7], и $R(T)$ отражает эти два вклада в сопротивление. Таким образом, все результаты можно непротиворечиво объяснить формированием ВЗП.

Вместе с тем, некоторыми свойствами TiS_3 существенно отличается от типичных пайерлсовских

проводников. Во-первых, TiS_3 – соединение на несколько порядков более высокоомное, чем известные проводники с ВЗП. Концентрация электронов в TiS_3 при комнатной температуре, определенная из эффекта Холла [11], составляет $n_{300} \sim 2 \cdot 10^{18} \text{ см}^{-3}$. До сих пор пайерлсовский переход наблюдался лишь в квазиодномерных проводниках с относительно высокой концентрацией носителей ($n_{300} \sim 10^{21} \text{ см}^{-3}$ при $T = 300$ К). Это означает, что период ВЗП в TiS_3 должен быть во много раз больше, чем, скажем, в TaS_3 или $NbSe_3$. Во-вторых, отметим и сравнительно малую анизотропию проводимости TiS_3 в плоскости ab ($\rho_a/\rho_b \approx 5$ при 300 К [12]). Поэтому нельзя исключить возможность того, что изменение зависимостей $R(T)$ и $R(V)$ при низких температурах обусловлено переходом в другое, не связанное с ВЗП, коррелированное состояние электронов. При малых концентрациях электронов таким состоянием может быть зарядовое упорядочение вигнеровского типа, которое происходит, например, в квазиодномерных органических проводниках ($DI-DCNQI)_2Ag$ [13] и $(TMTTF)_2PF_6$ [14]. В этом случае в точке перехода наблюдается максимум производной $d\ln R/d(1/T)$ [14]. Предполагается, что вигнеровская кристаллизация происходит также в двумерных гетероструктурах на основе $GaAs$ [15, 16]. В таких структурах наблюдались ВАХ порогового вида [15], которые могут быть связаны с движением электронного кристалла. Отметим, что концентрация электронов в таких структурах, $\sim 10^{11} \text{ см}^{-2}$ [16], того же порядка, что и в TiS_3 в пересчете на один элементарный слой. Для окончательного вывода о механизме проводимости TiS_3 целесообразно провести структурные исследования этого соединения при гелиевых температурах.

Таким образом, обнаруженные особенности на $R(T)$ при $T = 59$ К и нелинейный вид ВАХ ниже этой температуры, в частности пороговый, ниже 10 К, свидетельствуют об образовании коллективного электронного состояния в квазиодномерном соединении TiS_3 . Свойства TiS_3 в этом состоянии аналогичны свойствам квазиодномерных проводников с движущейся ВЗП.

Авторы благодарны А.Н. Титову (Институт физики металлов УрО РАН) за синтез и предоставление монокристаллов TiS_3 , В.Н. Тимофееву за проведение структурных исследований образцов, А.П. Орлову и С.Г. Зыбцеву за помощь в измерениях, а также П. Монсо, Ю.И. Латышеву и В.А. Волкову за обсуждение результатов. Работа была поддержана Российским фондом фундаментальных исследований (гранты # 06-02-72551-НЦНИЛ-а и # 08-02-01303-а), прово-

дилась в рамках Программы Президиума РАН № 27 “Основы фундаментальных исследований нанотехнологий и наноматериалов” и МНТЦ № 3201.

1. Р. Пайерлс, *Квантовая теория твердых тел*, М.: ИИЛ, 1956.
2. G. Grüner, in *Density Waves in Solids*, Addison-Wesley, Reading, Mass., 1994.
3. P. Monceau, in: *Electronic Properties of Inorganic Quasi-onedimensional Conductors*, Vol. 2, Part 2, Ed. P. Monceau, Reidel, Dordrecht, 1985, p.139.
4. S. K. Srivastava and B. N. Avasthi, *J. of Materials Science* **27**, 3693 (1992).
5. M. F. Hundley, U. Walter, A. Zettl et al., *Solid State Commun.* **73**, 477 (1990); R. Yomo, K. Yamaya, M. Abliz et al., *Phys. Rev. B* **71**, 132508 (2005).
6. S. Kikkawa, M. Koizumi, S. Yamanaka et al., *Phys. Stat. Sol. A* **61**, K55 (1980).
7. Pei-Ling Hsieh, C.M.Jackson, and G.Grüner, *Solid State Commun.* **46**, 505 (1983).
8. В. Ф. Гантмахер, *Электроны в неупорядоченных средах*, М.: Наука, 2005.
9. Б. И. Шкловский, *ФТП* **6**, 2335 (1972); **13**, 93 (1979).
10. R. M. Fleming, R. J. Cava, L. F. Schneemeyer et al., *Phys. Rev. B* **33**, 5450 (1986).
11. O. Gorochov, A. Katty, N. Le Nagard et al., *Mater. Res. Bull.* **18**, 111 (1983).
12. I. G. Gorlova, V. Ya. Pokrovskii, S. G. Zybtsev et al., *Book of abstracts. Intern. workshop on Electron Crystal (ECRYS-2008)*, Cargese, France, P-40, 2008.
13. K. Hiraki and K. Kanoda, *Phys. Rev. Lett.* **80**, 4737 (1998).
14. F. Nad, P. Monceau, C. Carcel et al., *Phys. Rev. B* **62**, 1753 (2000).
15. V. J. Goldman, M. Santos, M. Shayegan et all., *Phys. Rev. Lett.* **65**, 2189 (1990).
16. E. Y. Andrei, G. Deville, D. C. Glattli et all., *Phys. Rev. Lett.* **60**, 2765 (1988).